

北海道大学工学部 正員 北郷 繁
同 上 正員〇佐藤正義

1. まえがき

飽和土のせん断強さを有効応力から求めるためには、破壊時の間ヶキ水圧（以下 σ と略す）を正しく計測する必要がある。たとえば三軸圧縮試験で普通に行われているように、供試体底面での σ を測定する場合には、測定値はせん断面附近の σ を表わすものでなければならない。三軸圧縮試験で、せん断力を受けて供試体内に発生する σ は、ダイレタンサーが一様に生じないことや供試体の端部拘束などの原因により、供試体全体にわたって一様に生じない。それで供試体底部で測定する σ は必ずしもその供試体中の σ を代表する値ではない。したがって、供試体内に不均一に発生する σ が均等化した値として測定するためには、 σ の再分布が可能なようなヒズミ速度（以下 v と略す）で圧縮試験を行なう必要がある。 σ が均等化するのに要する時間は、その供試体の透水性に大きく影響されるものと考えられる。したがって、 σ を正しく測定するための v と透水係数（以下 K と略す）との間に直接関係があるはずである。本実験はこの関係を明らかにするために行ったものである。また、 v の大きさが間ヶキ水圧、間ヶキ圧係数、軸差応力および強度常数などにどのような影響をあらわすかを調べた。

2. 試料土および供試体

試料土は供試体にしたとき自立し、また練り返しし易いような含水比（大体液性指数が0.80位）になるよう水を加え、均一になるように丁寧に練り返し、恒温槽内で約一ヶ月養生した。供試体の直径は50mm、高さは120mmであり、供試体作製時の飽和度はほとんどの場合96%以上であった。供試体のセットは水中で行い、フラッシングおよび間ヶキ水圧測定系内には煮沸による脱気水を使用した。試料土の物理的性質を表-1に示す。

3. 透水係数（K）の決定法

これはV. Escario^{文1)}の圧密解析にとづいて行った。この方法によれば圧密中の排水は、放射方向にのみ許すから、この条件に適合させるため図-1に示すような供試体状態とした。すなわち、排水用のドレンペーパーを供試体上方のポーラスストーンに接するように巻きつけ、下のポーラスストーンに接続させなかつたのは、 σ を測定するための通水部分に間ヶキ水の流入を許さず、排水はすべて上方排水路にだけよつたためである。圧密圧（以下 σ と略す）は0.5, 1.0, 2.0, 4.0, 7.0 kN/m²の5つで、圧密中の測定事項は σ 、軸方向変位、および排水量であり、最初時間間隔を細かくとり次第に大きくながら測定を行つた。 σ は測定した σ 、軸方向変位および排水量の3つの項目からそれぞれ計算することができます。

4. 間ヶキ水圧（ σ ）の測定およびヒズミ速度（ v ）

1). σ の測定

表-1 試料の物理的性質と採取地

試料	比重	LL(%)	PL(%)	PI(%)	採取地
N0.1	2.69	34.6	21.5	13.1	二笠市幾番利
N0.2	2.73	69.4	33.3	36.1	札幌市屯田町
N0.3	2.67	92.8	35.0	57.8	万代郡中央屋

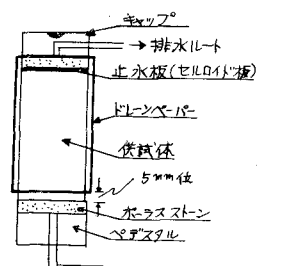


図-1 供試体のセットの状態

本実験のひの測定はすべて供試体底部において、ナリインジケーターを用いて行つた。間ヶキ水圧測定系のフラッシングの効果の判定の規準として、 7.0 kN/m^2 の水圧に対してナリインジケーターのH字管内の水銀の移動が 5 mm 以内であることとした。

2). ヒズミ速度($\dot{\epsilon}$)

これは初期供試体高の $2.5, 0.5, 0.1, 0.02, 0.004 \text{ \%}/\text{min}$ の5段階とし、圧縮試験はすべて 15.0% のヒズミに至るまで行った。

5. 実験結果およびその考察

1) 透水係数(C_s)と圧密圧力(σ)

3. で述べた方法によれば、ある σ について3つの C_s が計算できる。 σ を5段階に変えたから、一つの土を同一の σ で5回圧密したことになり、一つの σ について合計15個の C_s が計算される。図-2は試料No.3についての計算結果である。他の試料についても同様の傾向を示しているので省略する。 σ が 0.5 kN/m^2 の C_s の値が全体的に小さ目ではあるが、この実験の範囲内では C_s と σ は両対数紙上で大体直線関係を示している^{文2)}ようである。この直線から各 σ における C_s の概略を知ることができる。本実験の資料整理にはこの直線を利用して、ある σ に対する C_s を求めた。尚次項についても σ が 0.5 kN/m^2 の実験結果は特異な値を示しており、実験に何等かの不都合があったのかも知れない。

2). セン断中の間ヶキ水圧(Δu)の挙動

図-3は試料No.3において、非排水圧縮試験でのヒズミ ϵ と発生間ヶキ水圧 Δu との関係を5つの $\dot{\epsilon}$ について示したものである。他の試料もこれと同様の傾向を示している。これからわかるることは ϵ の大きい $2.5, 0.5\text{ \%}/\text{min}$ (特に $2.5\text{ \%}/\text{min}$)では、初期のヒズミにおける Δu の増加の割合が、他の小さい $\dot{\epsilon}$ の場合にくらべて小さい。この場合、5つの $\dot{\epsilon}$ において同一のヒズミを与えるに要する時間は、 $25\text{ \%}/\text{min}$ を1とすると $0.004\text{ \%}/\text{min}$ では625である。つまり、 $2.5, 0.5\text{ \%}/\text{min}$ の $\dot{\epsilon}$ では Δu が試料中に平均化するに必要な時間が不足であるが、他の3つでは、相互に大差ない程度に必要な時間を満足しているとみられる。つまり $\dot{\epsilon}$ が遅いほど供試体底面で測定したセン断中の Δu は、試料中のより平均化された Δu を与えるものと考えることができ、この意味からまず $2.5\text{ \%}/\text{min}$ と $0.5\text{ \%}/\text{min}$ の2つは失格とみることができる。同じような傾向が図-4についてもみられる。この図は間ヶキ圧係数(以下Aと略す)とヒズミ ϵ の関係を表わす一例であるが、その一般的な傾向は、 ϵ の大きい $2.5\text{ \%}/\text{min}$ と $0.5\text{ \%}/\text{min}$ のものはAが他の3つの ϵ の小さいものの初期部分の変化状況を示していると考えられ、刻々

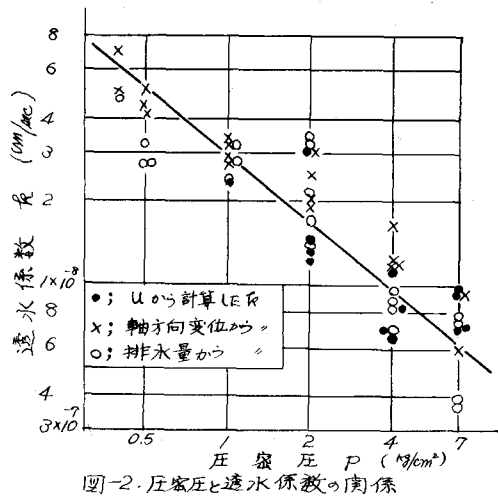


図-2. 圧密圧と透水係数の関係

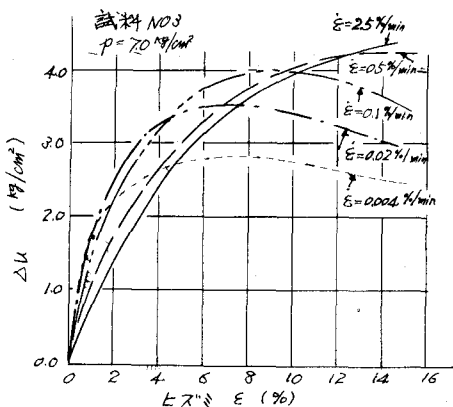


図-3. ヒズミと間ヶキ水圧の関係

が試料中に平均化するに必要な時間が不足であるが、他の3つでは、相互に大差ない程度に必要な時間を満足しているとみられる。つまり $\dot{\epsilon}$ が遅いほど供試体底面で測定したセン断中の Δu は、試料中のより平均化された Δu を与えるものと考えることができ、この意味からまず $2.5\text{ \%}/\text{min}$ と $0.5\text{ \%}/\text{min}$ の2つは失格とみることができる。同じような傾向が図-4についてもみられる。この図は間ヶキ圧係数(以下Aと略す)とヒズミ ϵ の関係を表わす一例であるが、その一般的な傾向は、 ϵ の大きい $2.5\text{ \%}/\text{min}$ と $0.5\text{ \%}/\text{min}$ のものはAが他の3つの ϵ の小さいものの初期部分の変化状況を示していると考えられ、刻々

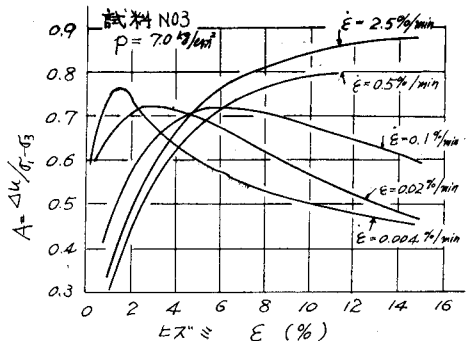


図-4 ヒズミと間ゲキ圧係数の関係

に変化する $\dot{\epsilon}$ を試料の底部で測定するには、これらの方では大にあぎることを示している。図-5は試料N03における破かれ時 ($A_f - \sigma_0$) の最大値を示すとき、最大値を示さない場合はヒズミが15.0%のときの間ゲキ圧係数 A_f (破かれ時の A_f を A_f とする) と $\dot{\epsilon}$ の関係を $\dot{\epsilon}$ を10ラメーターとして、また図-6は A_f と $\dot{\epsilon}$ の関係を、 σ を10ラメーターとして表わしたものである。これらの図からいえることは、 A_f は $\dot{\epsilon}$ が大きくなると、大きく計算される傾向を示すが、これをと別にみると、 0.5 kg/cm^2 の σ の場合を除いて、おそれ方の2つの σ では、 A_f は σ の大小にはほとんど無関係のようにみられる。すなわちN03の土の場合最適の $\dot{\epsilon}$ は $0.02\%/\text{min}$ 前後にありそうである。また A_f が $\dot{\epsilon}$ に影響を受ける度合は $\dot{\epsilon}$ が大きいほど大きい。つまりある飽和土の A_f は、試料の状態(この場合、間ゲキ比あるいは λ)や測定期間の $\dot{\epsilon}$ によって異なる値となり、 $\dot{\epsilon}$ の小さいほどその影響を受けて大きく計算されるということである。

図-7は A_f と λ の関係を示す。この図はつきのようにしてかいしたものである。まず図-2の直線から、ある λ に対応する $\dot{\epsilon}$ を求め、 λ を測定とする非排水圧縮試験で得られる A_f と λ を、土質に無関係に片対数紙上にプロットすると、これらの点はほぼ直線上にあつた。この直線を同じくにかけたのが図-7である。この図の成因からして、さわめて大サツパではあるが、 λ が小さくなるほど A_f は λ の影響を受けるとした前論がより明らかになるし、また λ が $0.02\%/\text{min}$ と $0.004\%/\text{min}$ の曲線はほぼ同一とみなすことができて、本実験で取り扱った程度の λ の範囲では、供試体底でりを測定するための最適な λ は $0.02\%/\text{min}$ 程度であると結論づけられ

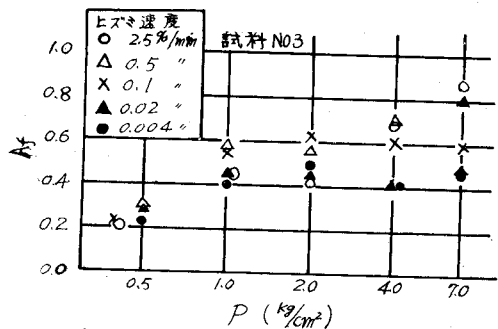


図-5 破かれ時の間ゲキ圧係数と圧密圧の関係

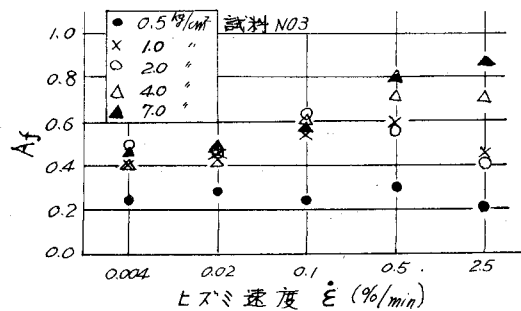


図-6. 破かれ時の間ゲキ圧係数とヒズミ速度の関係

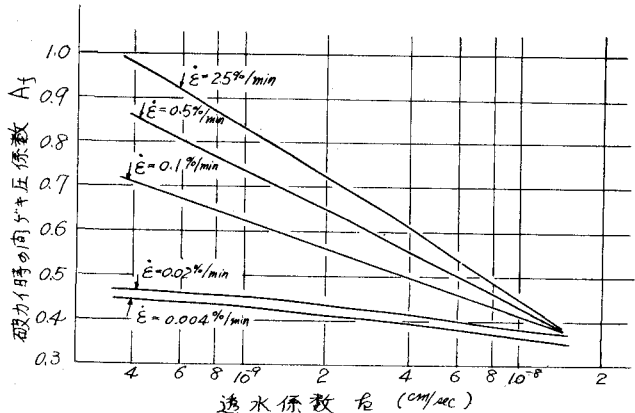


図-7. 破かれ時の間ゲキ圧係数と透水係数の関係

れる。この図から考えられるもう一つのことは、たゞが $1.6 \times 10^{-8} \text{ cm/sec}$ のところで 5 本の曲線が交っているということである。本実験ではこのより大きい値をもつ供試体について試験を行わなかつたので、はいした結論は得られなかつたが興味のあることである。

3). ヒズミ速度 ($\dot{\epsilon}$) と軸差応力の関係

図-8 は試料 N.3 についての破壊時の含水比 (ϕ_u) と軸差応力 ($(\sigma_1 - \sigma_3)_f$) の関係について、 $\dot{\epsilon} = 10^0$ ラメータとしてプロットしたものである。 $(\sigma_1 - \sigma_3)_f$ の値にはメンブレンとドレーン $\varphi - 10^\circ$ の強さに対する修正を行つた。その二つによる修正値は当研究室で実験を行つて求めたものであり、ヒズミが 15% で $\phi_u = 0.18$ cm^2 である。この図より明らかかなことは $\dot{\epsilon}$ が $2.5\%/\text{min} \sim 0.004\%/\text{min}$ の範囲では $(\sigma_1 - \sigma_3)_f$ の値にはほとんどその影響がみられない。一般に不搅乱試料については $\dot{\epsilon}$ が大きくなるにつれて $(\sigma_1 - \sigma_3)_f$ が大きくなることが知られているが、繰り返しした試料を用いた本実験でのとの範囲ではその影響がみられなかつた。

4). ヒズミ速度 ($\dot{\epsilon}$) と強度常数の関係

図-9 は 3 つの試料について、 ϕ_u と $\dot{\epsilon}$ の関係を、図-10 は ϕ'_u と $\dot{\epsilon}$ の関係を示したものである。ここで ϕ_u とは全応力解析で求めたセン断抵抗角であり、 ϕ' とは有効応力解析で求めたセン断抵抗角である。 ϕ_u の値は $\dot{\epsilon}$ が $2.5\%/\text{min} \sim 0.004\%/\text{min}$ の範囲ではほとんどその影響を受けないようであるが、 ϕ' はその影響を大きく受けていることがわかる。すなわち $\dot{\epsilon}$ が小さくなると ϕ' は小さくなり、図-10 によれば $0.1 \sim 0.02\%/\text{min}$ を境にして ϕ' がかかる傾向がみられる。このことはひの判定に ϕ' の値が $4.0 \times 10^{-9} \sim 1.6 \times 10^{-8} \text{ cm/sec}$ のとき最適な $\dot{\epsilon}$ が $0.02\%/\text{min}$ 程度のようであるとした結論と考え合せて興味のあることである。

参考文献

- 文1) V. Escario; Determining the Coefficient of Consolidation and Horizontal Permeability by Radial Drainage. Proc. 5th Int. Conf. Soil Mech. 1961
- 文2) 沢田敏男、島山昭司; 「圧密諸係数に関する考察」 土と基礎 13-9 1965. September

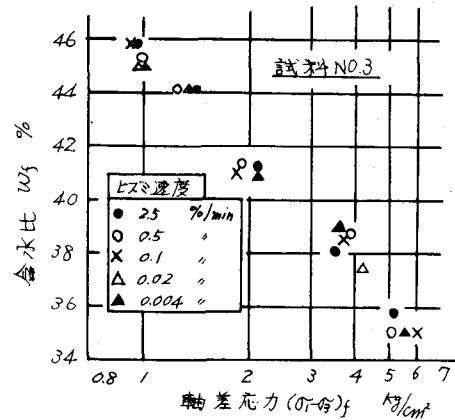


図-8 軸差応力と含水比の関係

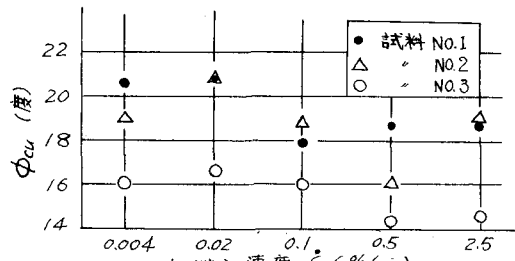


図-9 ϕ_u とヒズミ速度の関係

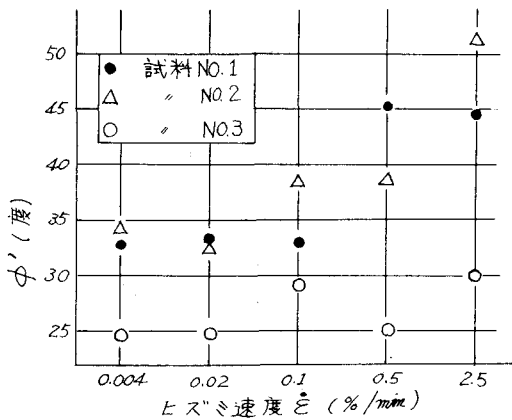


図-10 ϕ' とヒズミ速度の関係

以上の結果によれば、 ϕ' の値が最も高いのは $0.02\%/\text{min}$ 程度のようであるとした結論と考え合せて興味のあることである。